

Qualche tempo dopo....

Il gruppo di fisica nucleare (GR3) a Firenze

Giovanni Casini
INFN Firenze

sommario

- Il quadro: il progetto SPES e non solo
- Le attivita' e le sigle INFN (**GAMMA e NUCLEX**)
- manpowe e le richieste

SPES: una facility con 4 fasi

**Fase α ciclotrone ed edilizia
Già finanziata (circa 22Meuro)**



**Fase β riaccelerazione di fasci radioattivi
Costo 25Meuro**

Among applications, production of radionuclides of medical interest is particularly interesting.

**Fase γ radioisotopi per Medicina
Costo 17-20Meuro (NON INFN!)**

The model is the ARRONAX centre at Nantes

New methods

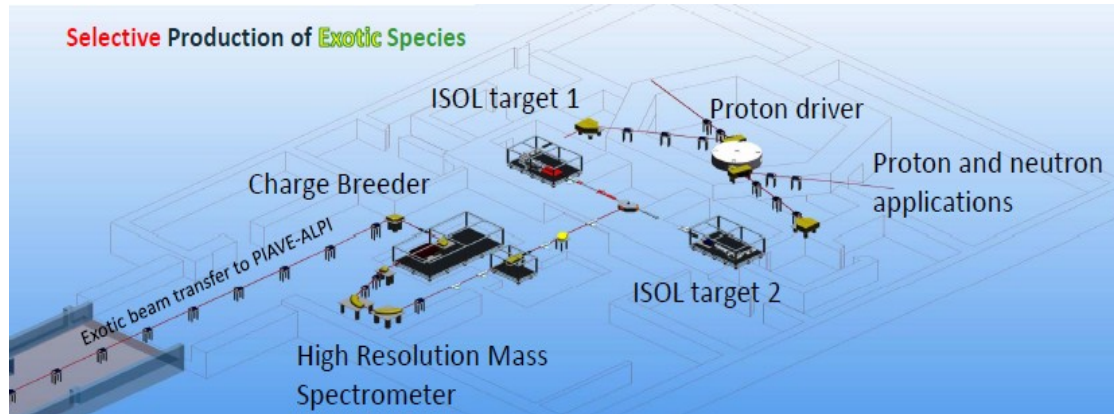
New isotopes (Cu-radionuclides)

**Fase δ una facility per neutron irradiation
Costo 10Meuro (un po' INFN?)**

SPES: una facility con 4 fasi



The preparation of a radioactive beam (the **production**, the **extraction**, the isotope **purity** selection, the **transport** and the **diagnostics**) is crucial and practically part of experiments

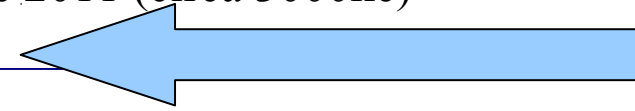


Fondi stanziati 2003: 17200ke

Circa 300ke all'anno freschi dal 2010 in poi

Finanziamento (addizionale) Edilizia del Ciclotrone 2011 (circa 3000ke)

Fondi premiali 5600ke (giugno 2012)

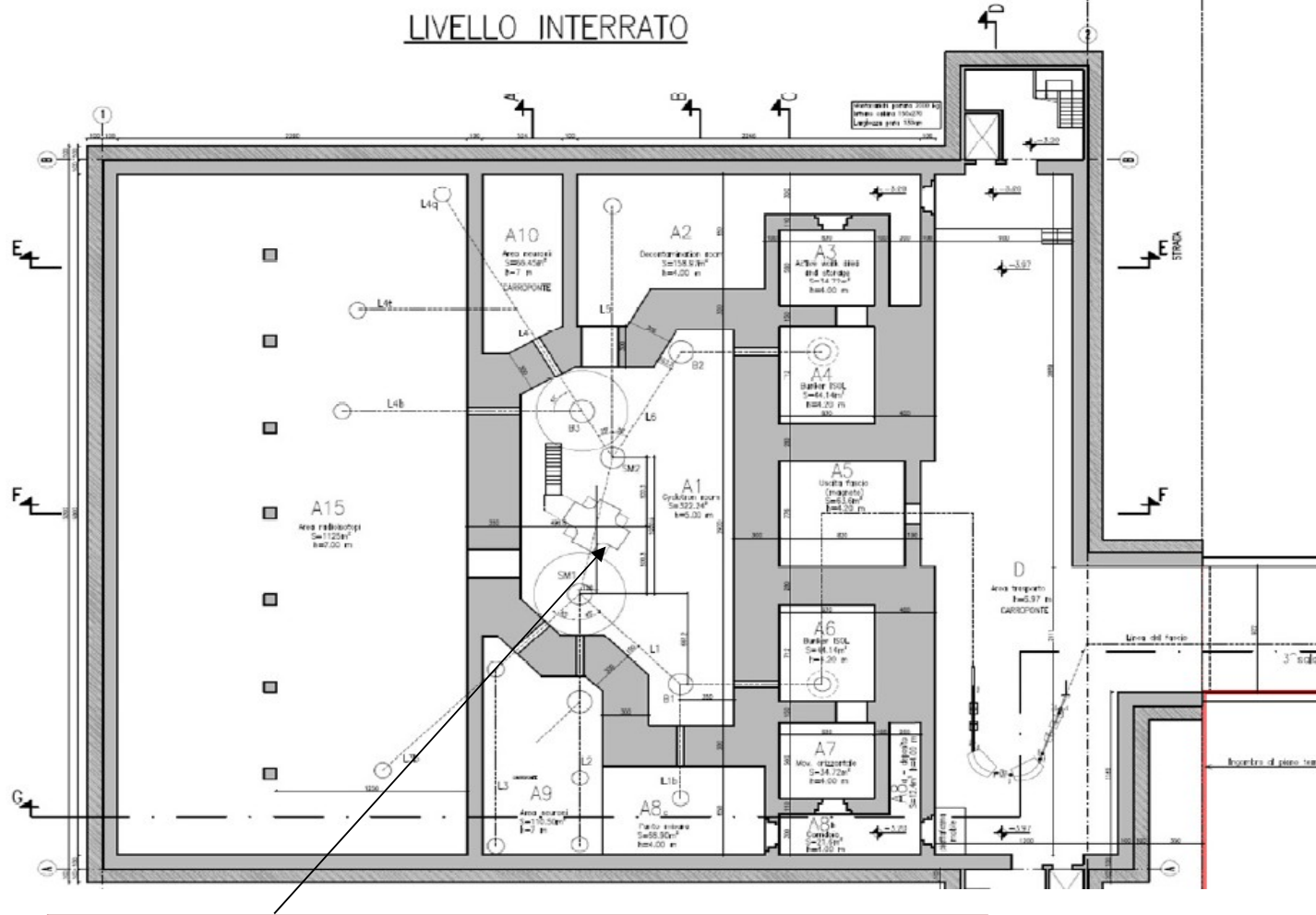


SPES e' organizzato in otto **Task**

task 0 management	task1 Safety, RP & Control	task 2 Infrastruc- ture	task3 ISOL Target	task4 Transp ort	task5 Cyc	task7 Re- acc	task8 Scient. Supp.
----------------------	-------------------------------	-------------------------------	-------------------------	------------------------	--------------	---------------------	---------------------------

Edificio con pianta 50x60m2

Inizio costruzione circa febbraio 2013



Ciclotrone della BEST B70 (Canada')

**Costo
dell'edilizia
circa 11000ke**

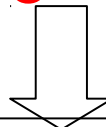
**8000ke erano
residui del
finanziamento
2003 mentre
altri 3000
sono stati
erogati nel
2011**

Firenze e SPES: un legame profondo



Il gruppo III di Firenze e' da decenni coinvolto in attivita' effettuate presso i LNL

Esperimenti sia di spettroscopia **gamma (struttura)** che di **specie cariche (reazioni)**



Dal 2008: istituzione di un **SPES Steering Committee** formato da ricercatori di LNL, di LNS e delle sezioni variamente coinvolte nell'iniziativa

Per Firenze: dal 2008 a maggio 2012 **G.C.**
Da giugno 2012 **A.Nannini**

2010: istituzione di un **SPES instrumentation group** per le interazioni con il Gruppo Supporto Scientifico

Members: **G.C.**, G. DeAngelis, G. LaRana, N.Pollarolo

2010: istituzione di un **Gruppo Supporto Scientifico** per la promozione dei casi di fisica e la valutazione delle LoI

A.Covello, S.Pirrone, A.Dipietro, G.Colò, A.Gargano, S.Lenzi, N.Pollarolo, **GC**

Attivita' di Gr III legate a SPES

Gruppo SPES supporto scientifico: organizzazione e elaborazione dello Workshop internazionale per le LoI (novembre 2010, LNL)

da Firenze: una LoI sulla Coulex

una LoI su eccitazione del dipolo dinamico

Una LoI sul trasporto di isospin in reazioni semiperiferiche

Gruppo SPES supporto scientifico organizza una serie di incontri di un giorno (SPES one-day workshop):

20 maggio 2012 Napoli: **Direct (transfer) Reactions**

(circa 35 partecipanti, intervenuto anche M.Taiuti presidente di CSN3)

27/28 settembre 2012 Firenze: Coulomb Excitation

Nel 2013 Milano Napoli: **Collective excitations in nuclei**

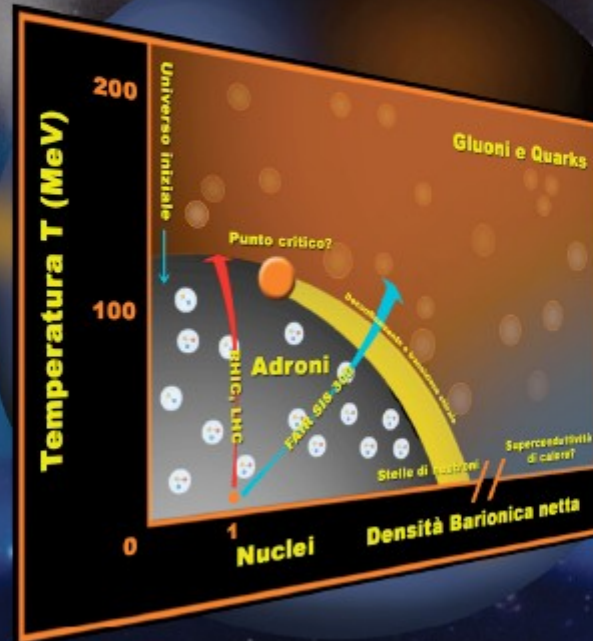
LNL: **Fusion Evaporation: intensita' dei fasci**

Catania: **Search of isospin effects with RIB**

FISICA NUCLEARE GENERALE

Incontro Nazionale di Fisica Nucleare

12 - 14 novembre 2012
Laboratori Nazionali del Sud, Catania



Sperimentali e teorici
di fronte alle nuove sfide
della fisica nucleare

Un evento
importante per tutta
la comunita' nucleare
italiana
(CSN3 e anche
CSN4)

- dinamica dei quark e degli adroni
- transizioni di fase e QGP
- struttura nucleare e dinamica
delle reazioni
- astrofisica nucleare

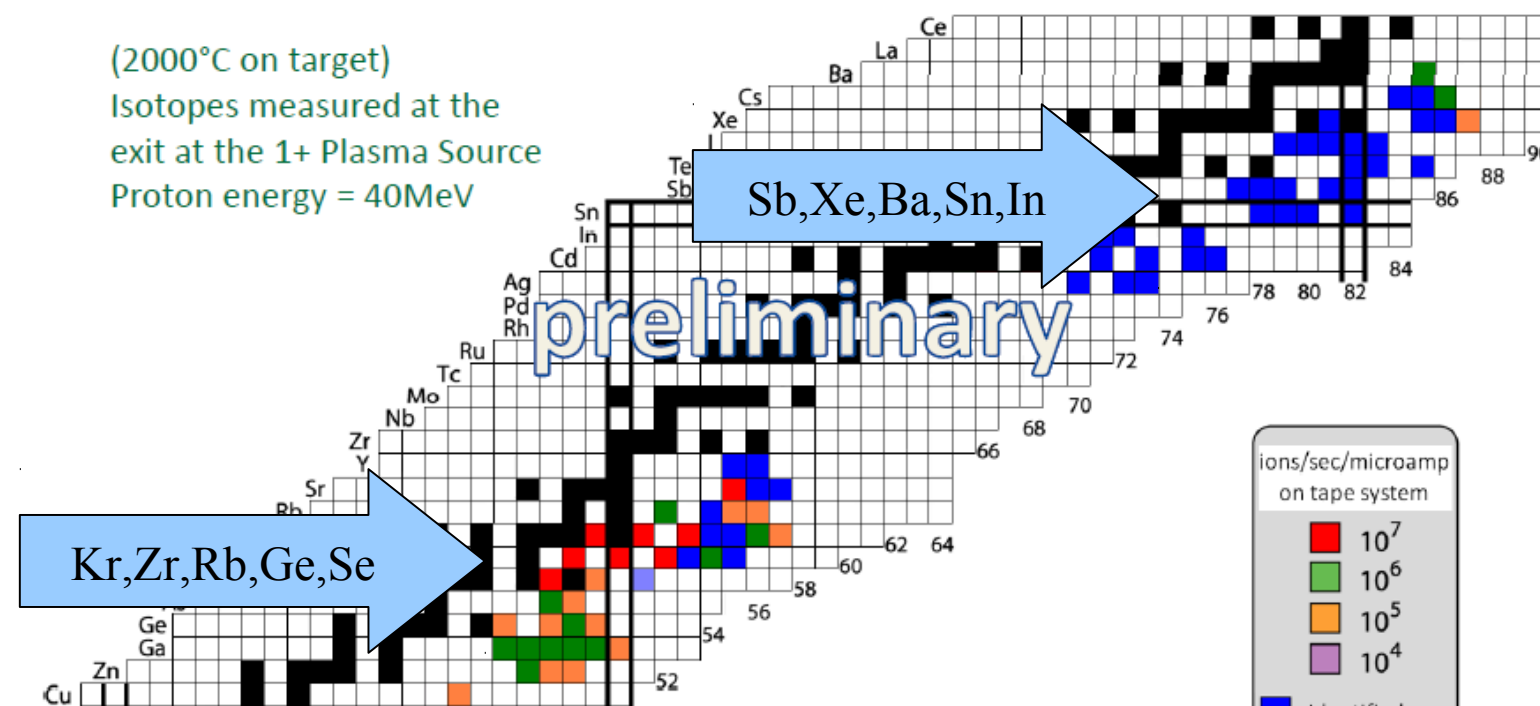
Ricordare di rispettare la deadline per registrarsi (10 Settembre)

CdS 4 luglio 2012 g.c.

SPES: verso zone meno note della carta dei nuclidi

The produced ions from UCx sliced target:

(2000°C on target)
Isotopes measured at the
exit at the 1+ Plasma Source
Proton energy = 40MeV



Batch mode
Or other carbides

Al, Ti, Ni....?

CdS 4 luglio 2012 g.c.

Analisi: ing.Corradietti

Reazioni e fisica con SPES



Constraints:

- bombarding energies from 3 to 12 AMeV (for A around 100)
- Exotic light species from SiC production targets
- N>>Z intermediate nuclei from UC-x fission targets
- Batch mode operation: the 'corriere dello zar' method

Complete Fusion: $X+Y \rightarrow CN^*(X+Y)$ and evaporation

Incomplete Fusion $X+Y \rightarrow CN^*(X+Y) + Y''$ and decay

Deep inelastic scattering $X+Y \rightarrow X^{*'} + Y^{*''}$ and their decay

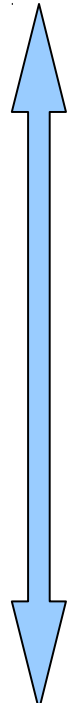
where **X** is the radioactive beam

Multinucleon Transfer $X+Y \rightarrow X^{*'} + Y^{*''}$ and their decay

Transfer reactions in reverse kinematics: $X+y(\text{light}) \rightarrow (\text{d},\text{p}) \text{ or } (\text{d},\text{He}) \text{ or } (\text{d},\text{t}) + Z'$

Coulomb Excitation $X+Y \rightarrow X^* + Y$ and decay

central



peripheral

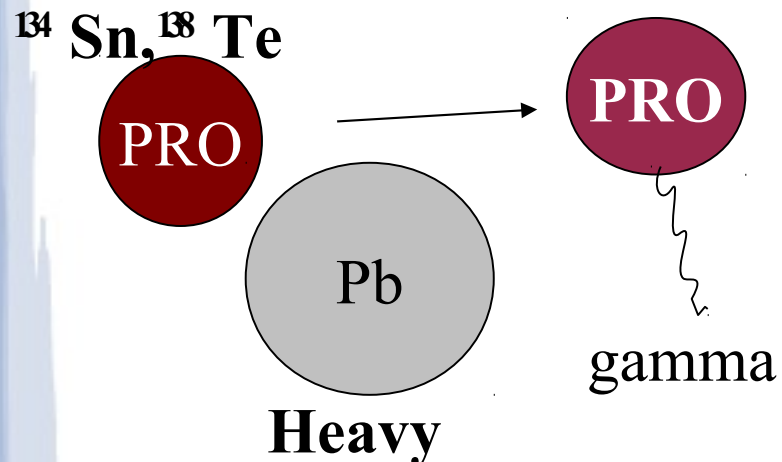
Esperimento gamma

- realizzazione apparato per misure di Coulomb Excitation
- misure ai LNL con AGATA - PRISMA (in collaborazione con i colleghi di Padova e Legnaro)
- misure di polarizzazione con i clusters di AGATA
- misure di elettroni di conversione
- studi nell'ambito del modello a bosoni interagenti IBA-2

Tecnici di supporto: M.Ottanelli e U.Carcassi

Coulomb Excitation: a key experiment for nuclear structure

Single particle states spectroscopy in unknown regions



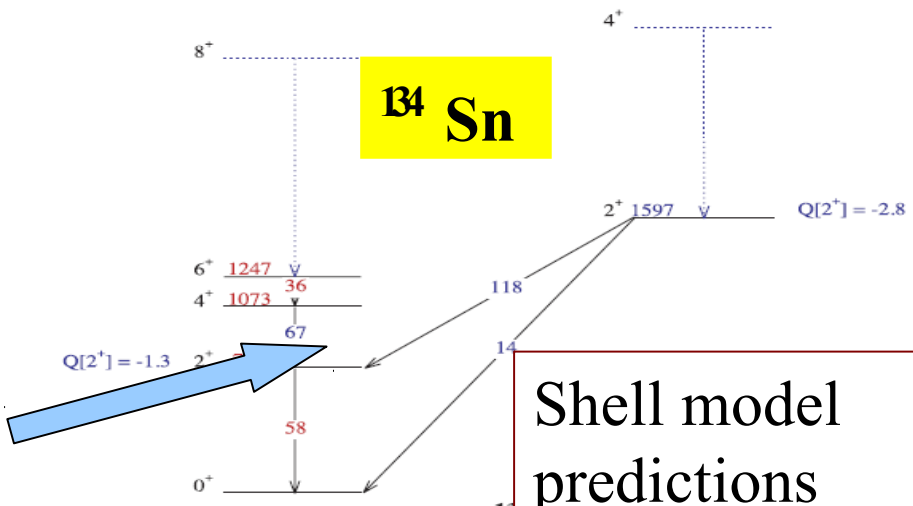
Metallic beams of n-rich Sn,Te A=134Sn,136,138Te
 $E_b=4\text{-}5\text{MeV/u}$

Powerful spectroscopic technique, favoured by the **large Coulomb cross sections** and suitable for **low-intensity beams like RIBs**

Scattered PROJ detected in Si-Arrays
for example **SPIDER** or **TRACE**

Fine study of gamma emission **GALILEO**

$B(E2,0+->2+)$ strength



CdS 4 luglio 201...

Shell model predictions
GOSIA code

Diverse LoI basate su misure di Coulomb Excitation



LoI citing this kind of technique:

^{134}Sn , $^{138}\text{Te} + \text{Pb}$ B.Melon SPIDER+GALILEO

odd-A D.Mengoni TRACE+GALILEO

^{136}Ba , $^{138}\text{Ce} + \text{C}$ N.Pietralla SPIDER/TRACE+GALILEO

$^{138}\text{Xe}, ^{140}\text{Ba} + \text{C}$

Ba,Ce,Xe + Pb E.Sahin, G.DeAngelis SPIDER/TRACE+GALILEO

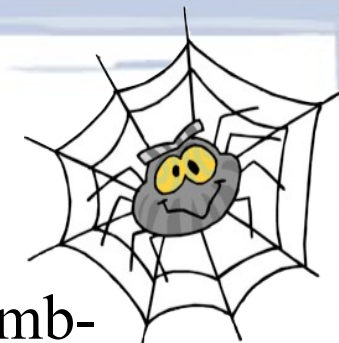
$^{98}\text{Sr} + \text{Au}$ D.Tonev TRACE+GALILEO

$^{84}\text{Ge}, ^{86,88}\text{Se} + \text{Pb}$ X.Valiente-Dobòn TRACE+AGATA

$^{99}\text{Y} + \text{X}$ M.Kmiecic TRACE/DSSSD+ AGATA+ PARIS

Verso SPES: il rivelatore **SPIDER** (in costruzione)

E' un semplice Si-detector anular adatto per misure di Coulomb-Excitation (rivela il proj deflesso)



300micron Si-strip det

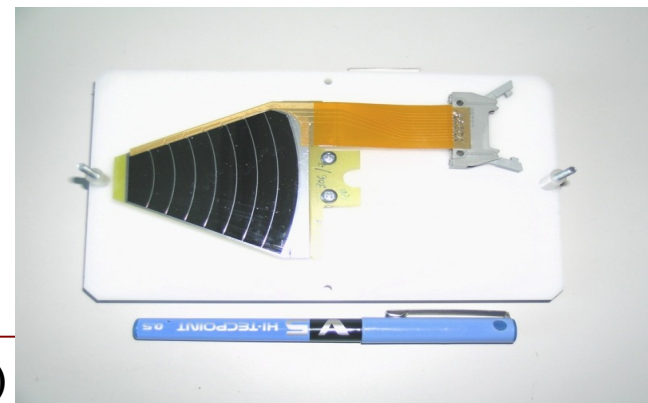
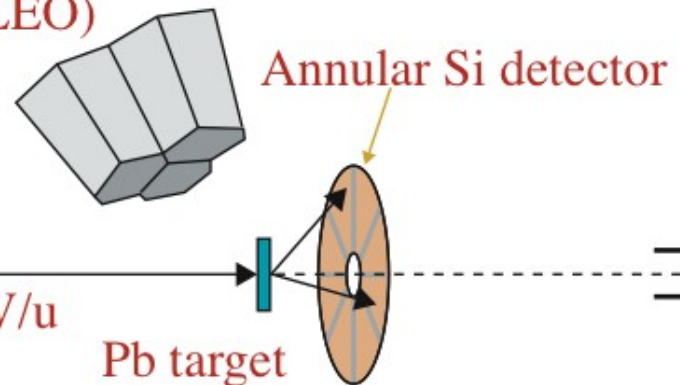


Strip detector sviluppato per il RingCounter di NucleX ottimo anche per questa applicazione

First-day Experiments with SPES (low current beams practicable)
Coupling with AGATA or with GALILEO
Very versatile set-up for 1-day SPES experiments

Gamma – array
(GALILEO)

RIB
 $E = 4 \div 5 \text{ MeV/u}$



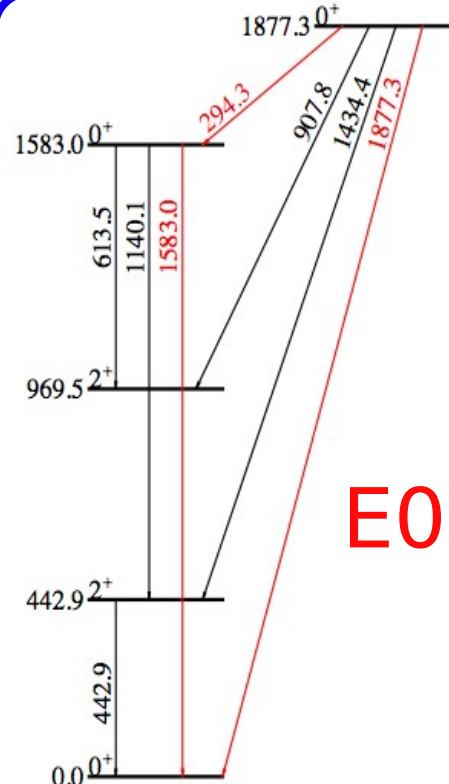
Misure di elettroni di conversione

Spectroscopy of electrons originating from nuclear processes provides an important tool to investigate nuclear structure:

- internal conversion coefficient measurements

(to determine transition multipolarities and assign spin and parity to nuclear states)

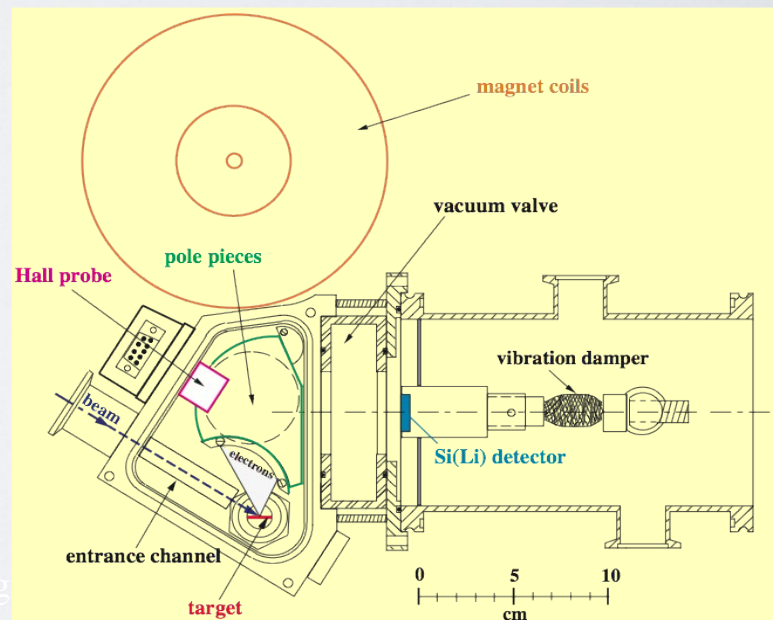
- studies of atomic electron penetration effects in the nucleus (in relation to e.g. electric monopole transitions E0).



Misure ai LNS
delle transizioni E0
fra i primi stati
eccitati 0^+
in ^{128}Xe , per
ottenere
informazioni sulla
loro struttura
(configuration
mixing??).

Cds 4 luglio 2012 g

LoI all'ultimo PAC dei LNL (accettata) per
installare al TANDEM l'apparato di
Firenze per misure di elettroni di
conversione



Esperimento nucl-ex

- Caratterizzazione di processi di reazione a vari regimi energetici
- Esplorazione degli effetti di isospin nei processi di eccitazione e decadimento dei nuclei
- Studio dettagliato del processo di fusione evaporazione
- R&D e inizio costruzione dimostratore di FAZIA

Tecnici di supporto: G.Tobia e E.Scarlini

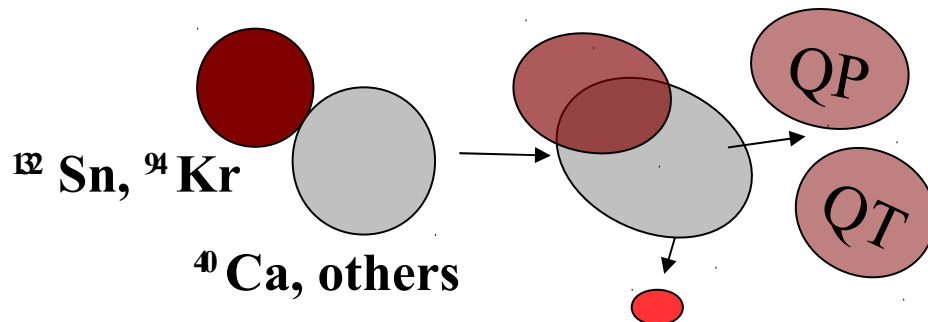
Esperimenti a LNL (Garfield e 8plp)
E con FAZIA sia a LNS che a GANIL (negli ultimi due anni)

SPES vs. Deep Inelastic Collisions



Isospin Drift of diffusion; how N/Z can affect reaction dynamics and emissions

Isospin dynamics and EOS



SPES: Energetic beams of n-rich Sn
 $E_b=10-12\text{MeV/u}$

Reaction products (from $Z=1$ upward) detected and identified in **FAZIA, GARFIELD, 8plp**

I flussi relativi di **protoni e neutroni** scambiati fra i due nuclei collidenti, dipendono anche dal termine di **Energia di Simmetria** del potenziale nucleare. Tale termine e' poco conosciuto a densita' sottosaturate. Si pensa che in certe regioni del sistema interagente (**superficie e collo nucleare**) si raggiungano tali valori "bassi" di densita' barionica e cio' consente lo studio della EOS in queste collisioni

SPES instrumentation vs. MNT and DIC



LoI citing this kind of technique:

Sr,Kr,Se,Sn L.Corradi PRISMA+GALILEO

130,132Sn,Ge,Br S.Leoni PRISMA+GALILEO

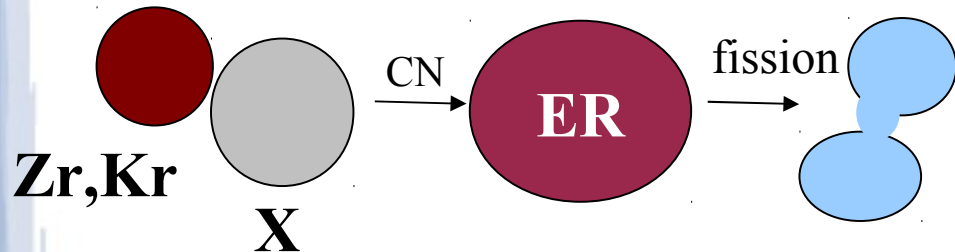
n-rich X+ U C.Ur SPIDER/TRACE+GALILEO

Kr,Xe,Sn + Ca,Pb G.Casini GARFIELD+FAZIA

Kr + Ca S.Pirrone Chimera+FAZIA + RIPEN/NEDA

⁸⁴Ge,⁸⁸ Se+ Pb A.Stefanini PRISMA

4f SPES instrumentation vs. Fusion+ ER or Fission



Metallic beams of n-rich Sr,Zr,Kr
Eb up to maximum

ER detection
And decay study

Complex dynamical process involving all the system d.o.f.
Fission time delay and pre-scission emission
Behaviour as a function of N/Z
Competition between fission and fusion (ER)

Interest also for r-process: fission competition around Z=92 stops the nuclear size growth; what is fission for very n-rich nuclei?

8plp + Corset multidetector+ RIPEN
GARFIELD, FAZIA + RIPEN
CHIMERA (parts) + RIPEN



LoI per SPES basate su reazioni di fusione

LoI citing this kind of experiments:

$^{98}\text{Sr},^{100}\text{Zr} + 40\text{Ca}$ A.Stefanini PRISMA

n-rich Zr,Kr,Sn E.Vardaci 8plp RIPEN

$^{134}\text{Sn} + 4\text{He}$ A.Di Nitto recoil + RIPEN/NEDA + AGATA + DIAMANT

n-rich Rb P.Bednarczyk TRACE AGATA RFD

batch-mode p-rich ^{56}Ni (e.g. 100Sn from $^{56}\text{Ni} + 50\text{Cr}$)

F.Recchia AGATA NEDA (neutron evap) active targ?

Kr,Cs,Sn + Ca,Ni G.Casini GARFIELD+PARIS/HECTOR

Light n-poor + Li,Au G.Baiocco GARFIELD

ESPERIMENTI già effettuati

Ti+Ca 300,400,600 MeV Tesi PhD 2012, **Stefano Carboni UNIFI**

C+C 95MeV Tesi PhD 2012, Giorgio Baiocco UNIBO

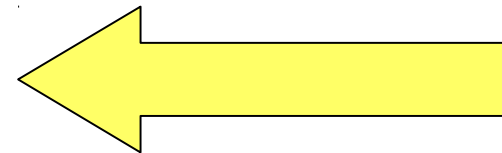
Experimental set-up @ LNL-INFN

data from $^{12}\text{C}(@ 95 \text{ MeV}) + ^{12}\text{C}$

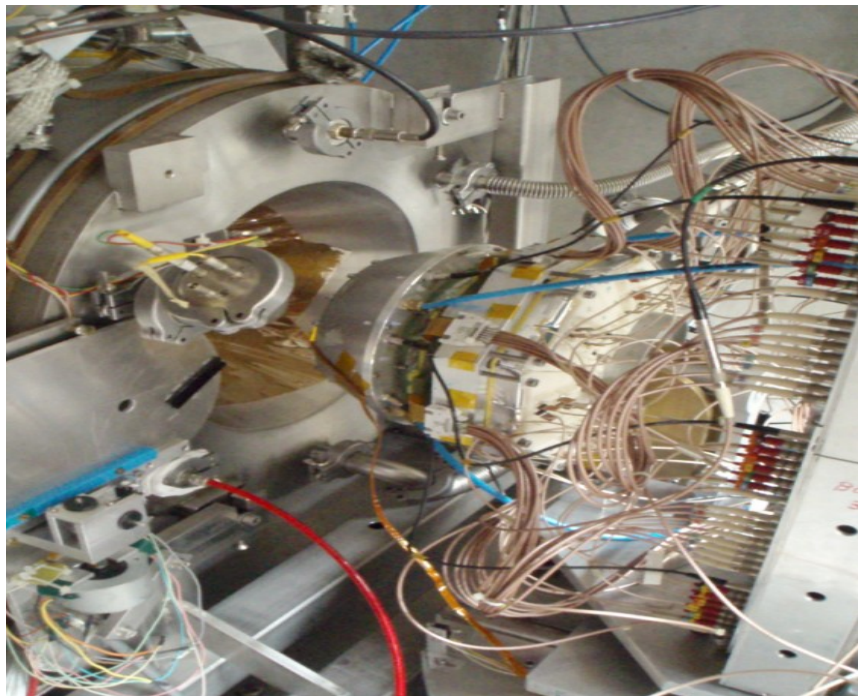
NUCL-EX collaboration campaign:

STATistical properties of LIGHT nuclei from Fus-Evap.

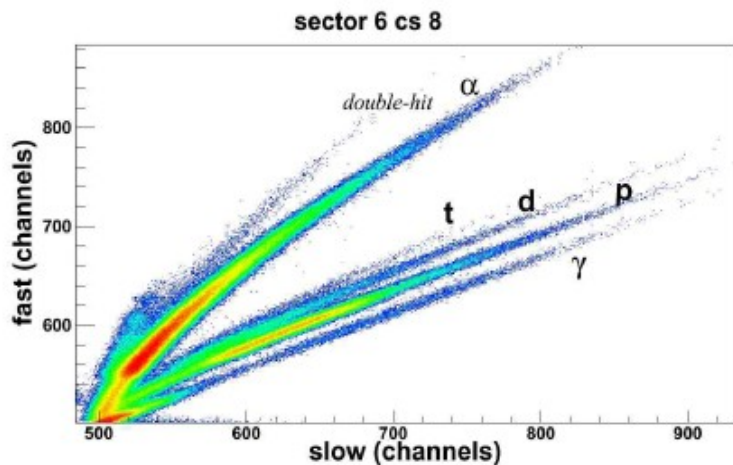
- low multiplicity evts. & high detection coverage
→ (quasi)complete evt. reconstruction
 - high energy and angular resolution
→ global control on the decay mechanism
- ⇒ **GARFIELD+RCo @ LNL, $^{12}\text{C}(@95 \text{ MeV}) + ^{12}\text{C}$**
-
- Compound Nucleus formation and decay
→ Level Density for $A \sim 20$, $e^* \sim 3 A \text{ MeV}$ (few excl.data!)
 - signature of *molecular* structure
→ deviation from a statistical behaviour



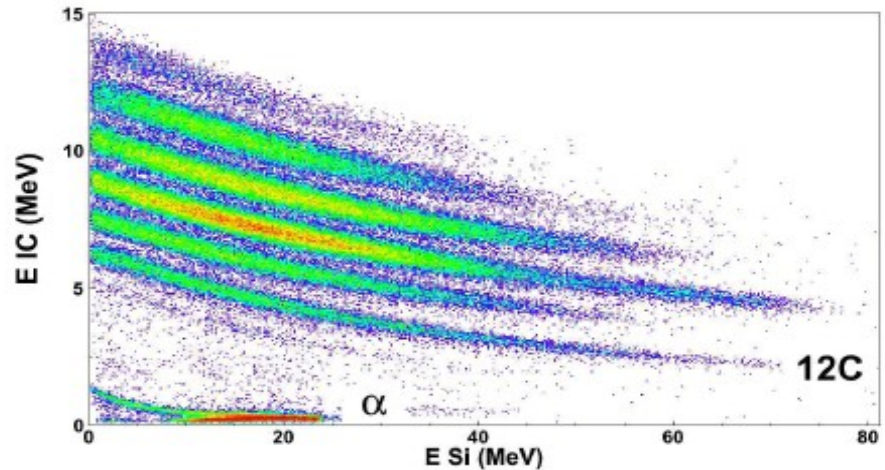
C+C a 95MeV



GARFIELD *CsI fast – slow*



The RCo IC vs. *Si-E*



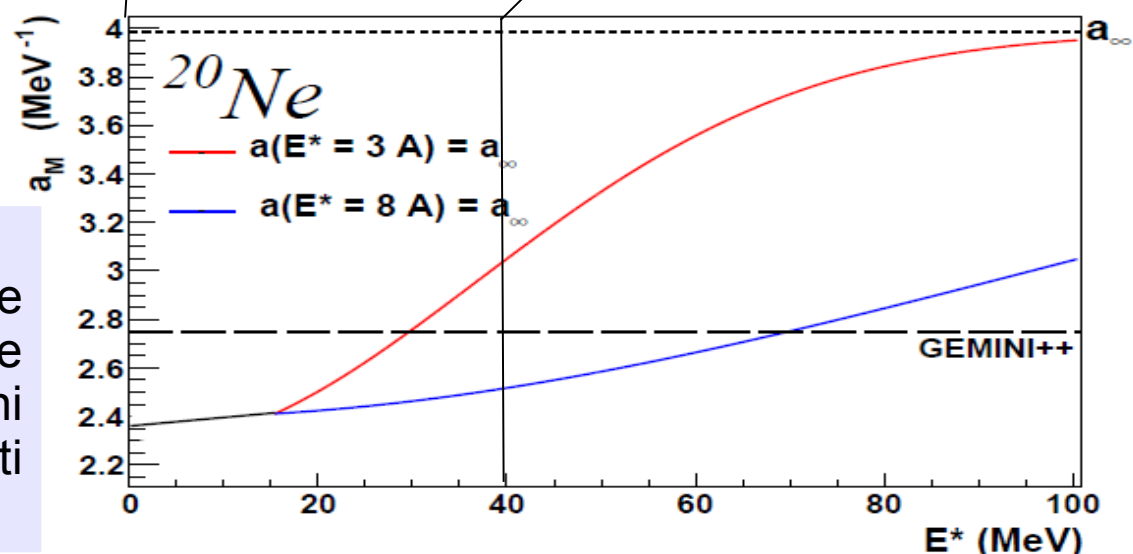
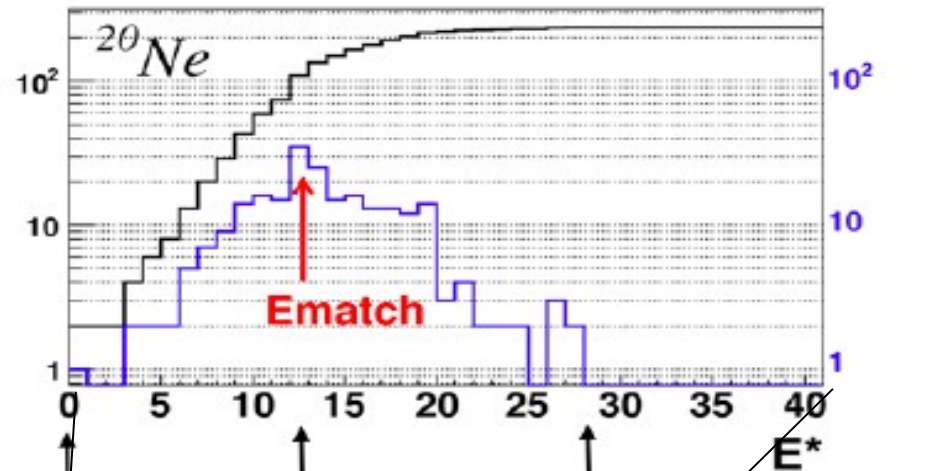
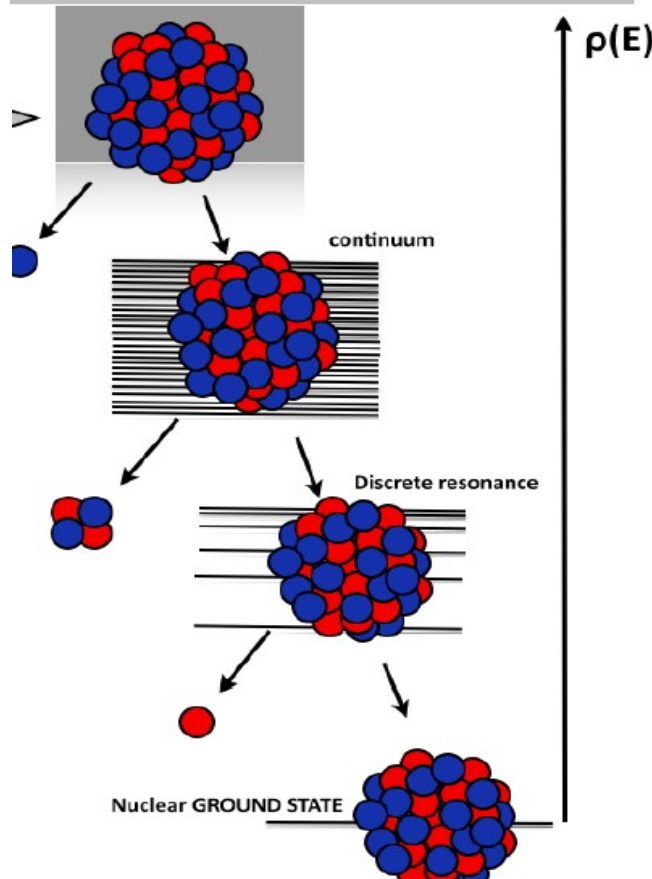
Identificazione di Z (e A) e misura di energia per ioni in avanti (6-16deg) con buona risoluzione angolare

Grande copertura tra 30 e 150 gradi di particelle leggere misurate e identificate in Z (e A) dai CsI di GARFIELD

CDs 4 luglio 2012 g.c.

$$w_{discr}(E_d^*) = \frac{dN(E^*)/dE^*(E_d^*)}{d\varrho(E^*)/dE^*(E_d^*)}$$

Statistical decay

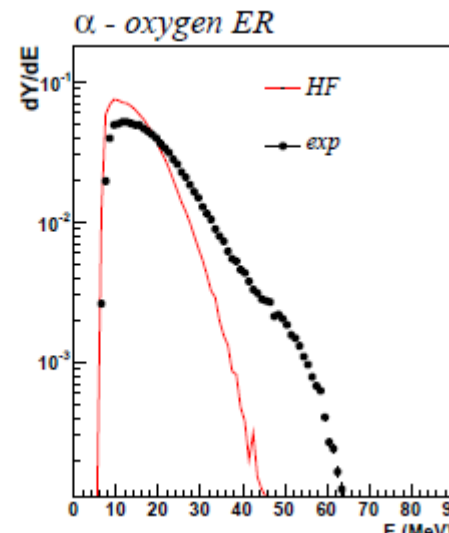
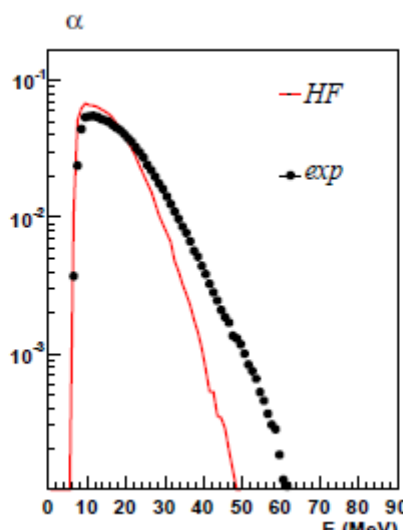
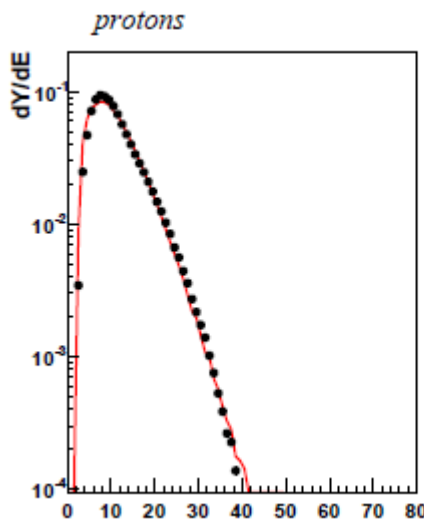


Regolazione fine dei parametri di modello evaporativo (in particolare le densita' di livelli nucleari) sulla base dei DataBase nucleari, su prescrizioni pubblicate e su test sui nostri dati sperimentali

FusEvap channel selection

- completeness of the detection $Z_{det} \geq 80\% (Z_{proj+targ})$
- coincidence between LCP in GARF ($30^\circ \leq \theta_{lab} \leq 150^\circ$) and ER in RCo ($5^\circ \leq \theta_{lab} \leq 17^\circ$)

^{24}Mg ($E^* = 62$ MeV) decay, $J_{CN} = \text{tria}(0; 12)\hbar$



Protoni perfetti!

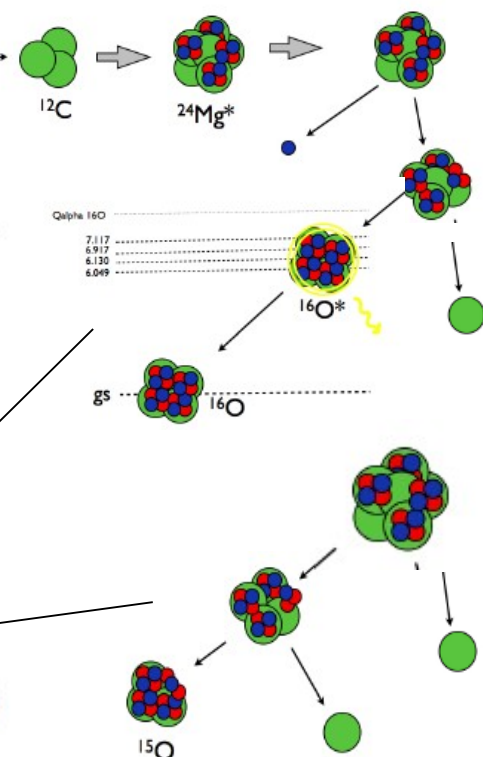
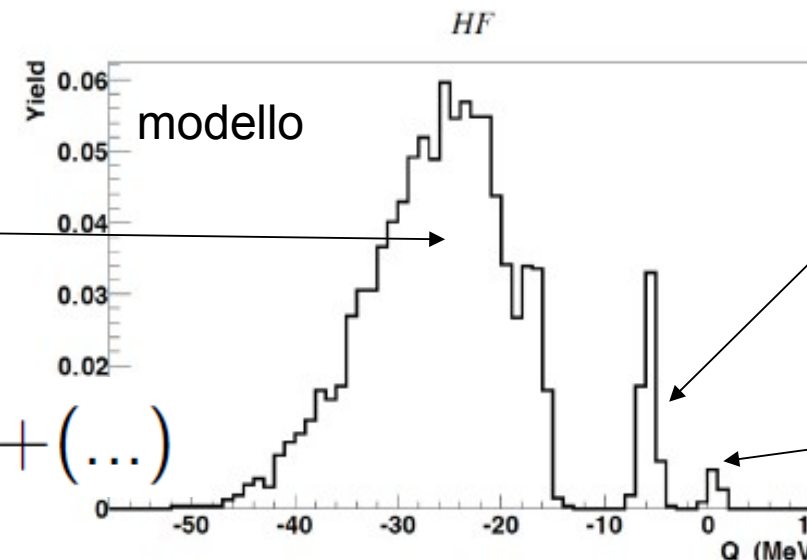
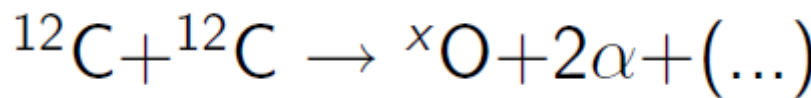
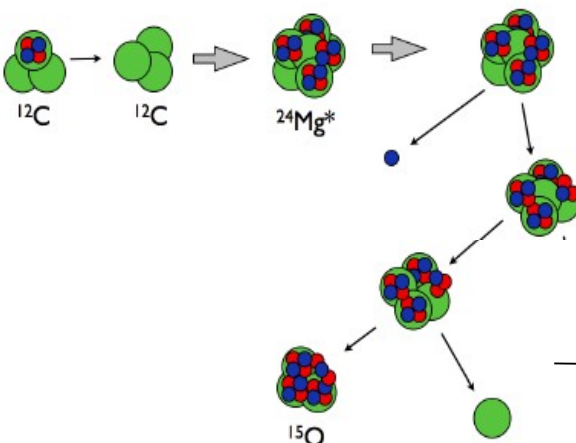
Alfa in eccesso!

CdS 4 luglio 2012 g.c.

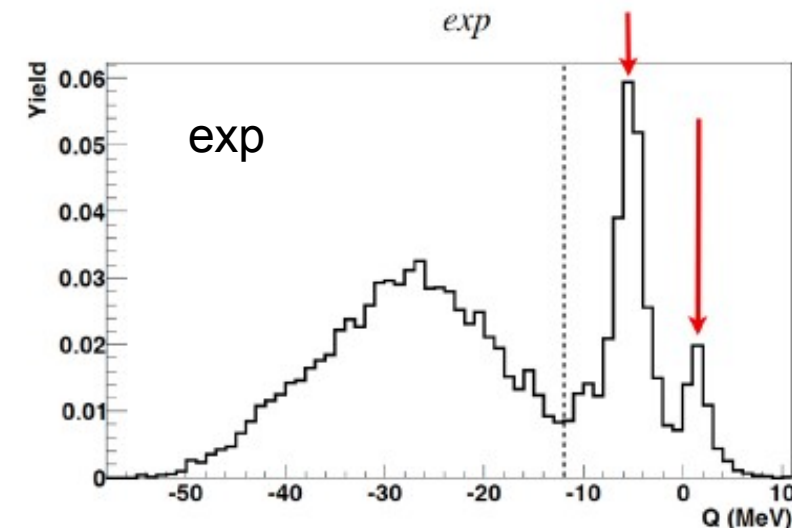
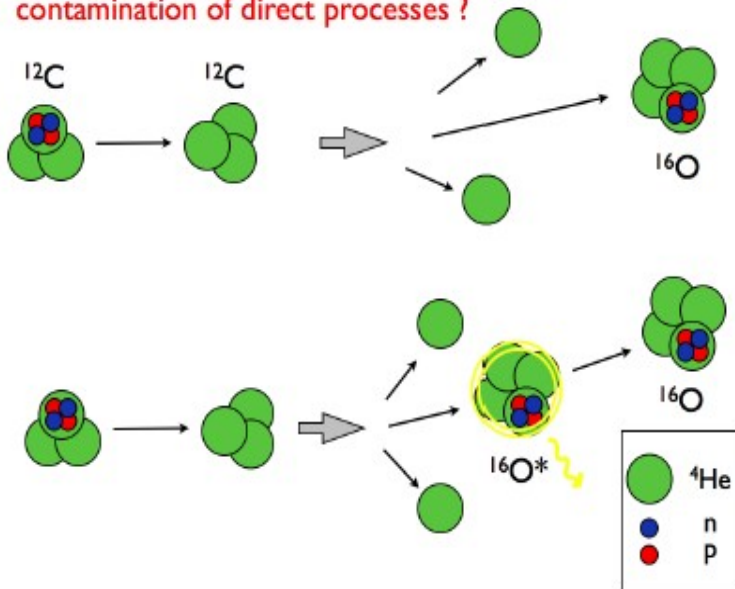
Sovrapproduzione di particelle alfa specie di alta energia e associate alla rivelazione di un ossigeno in avanti

Altre evidenze di emissione non compatibile con evaporazione statistica

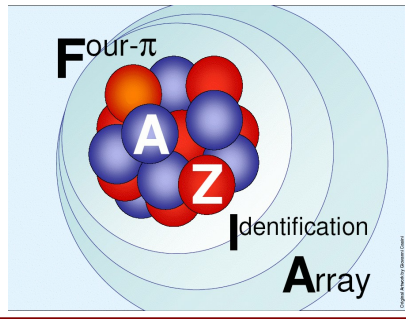
ALPHA STRUCTURE?



contamination of direct processes ?



In programma (autunno) un altro esperimento con stesso CN ma diverso canale di REAZIONE



A brief history of FAZIA

About 40 researchers,
engineers and technicians
now involved in FAZIA

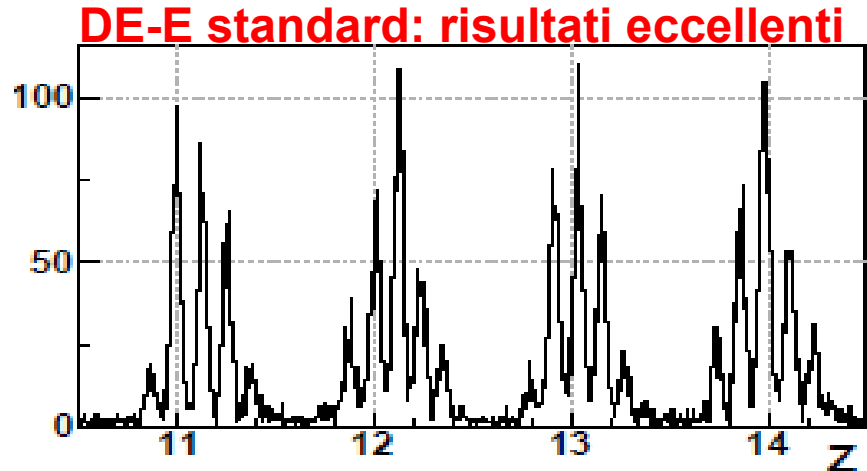
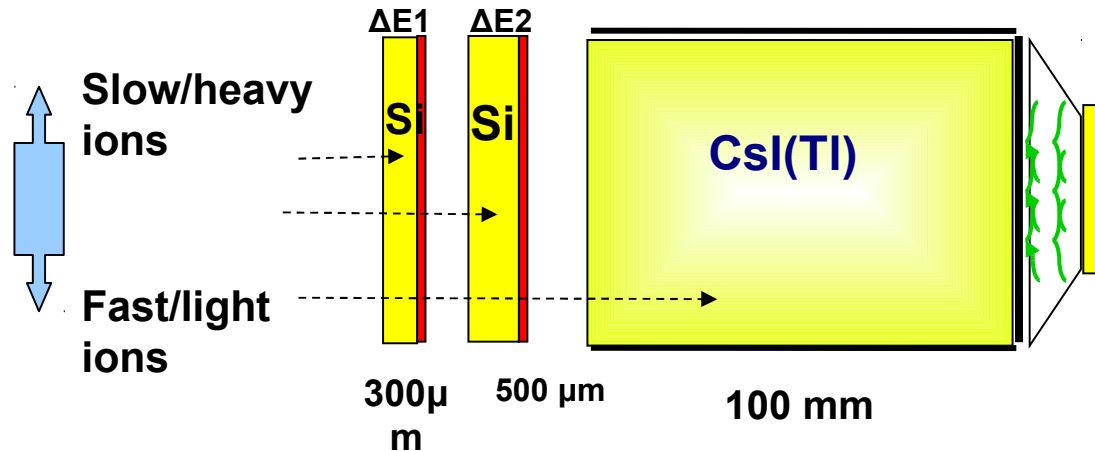


FAZIA dal 2006:

- 2006 ideas, organization, preliminary basis
- 2007 first experiment in LNL, Legnaro
- 2009 2 test experiments in LNS, Catania
- 2009 participation to Spiral2 Eu preparatory phase
- 2010 test experiment in GANIL
- 2011 test experiment in LNS, Catania
- 2011 **signature of a MoU**
- 2012 approved first BLOCK commissioning (LNS)

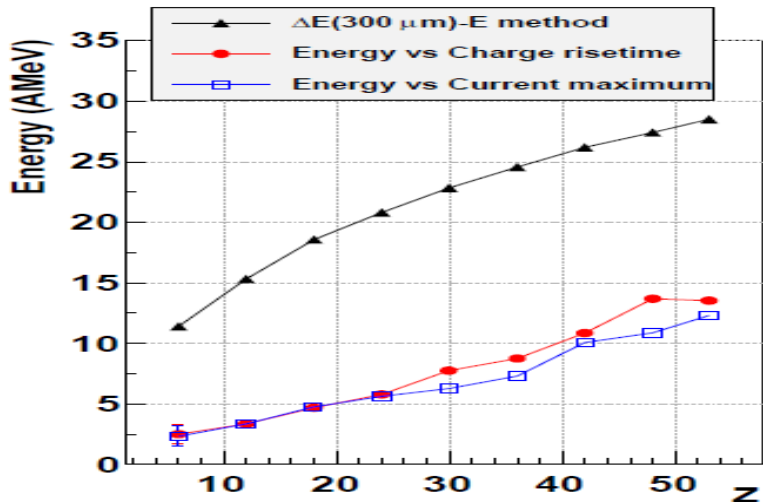
Identificazione in Z (A) di ioni

Bardelli NIM A 2009 Carboni NIM A 2012



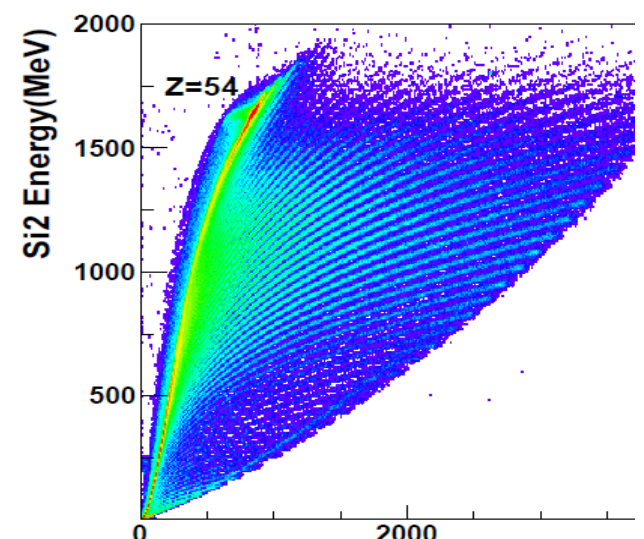
Ioni veloci che penetrano almeno nel secondo Si

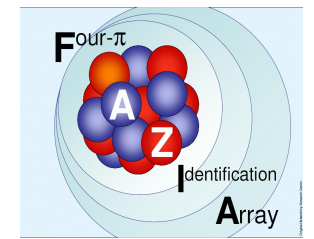
Ioni lenti bloccati nel primo Si



Digital PSA

CdS 4 luglio 2012 g.c.

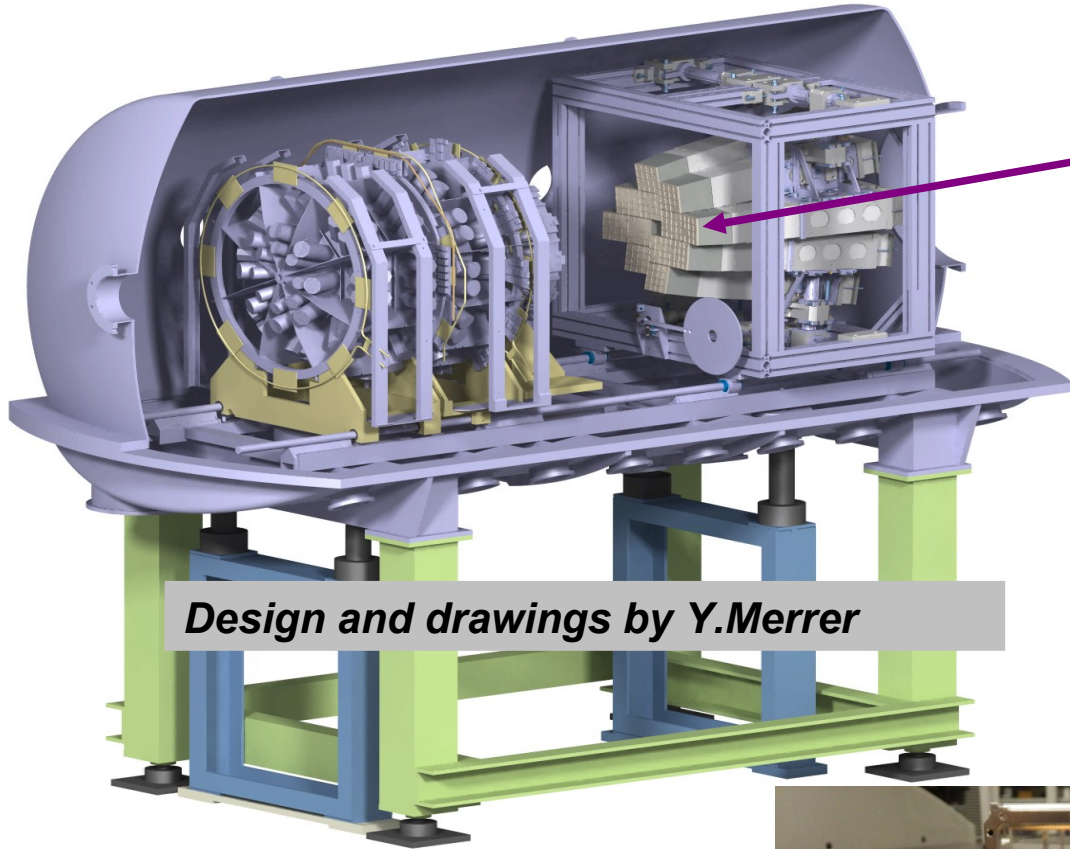




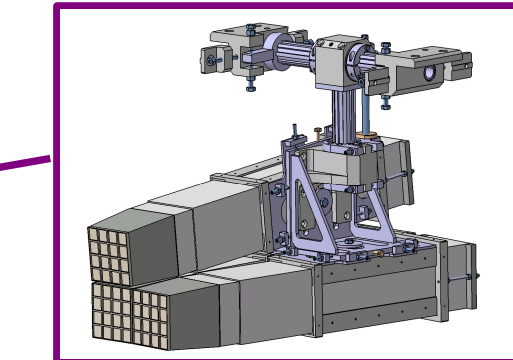
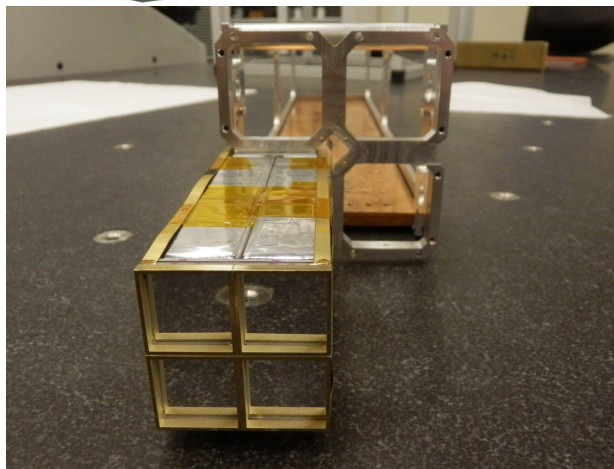
Towards the demonstrator

Demonstrator together with **INDRA at GANIL**

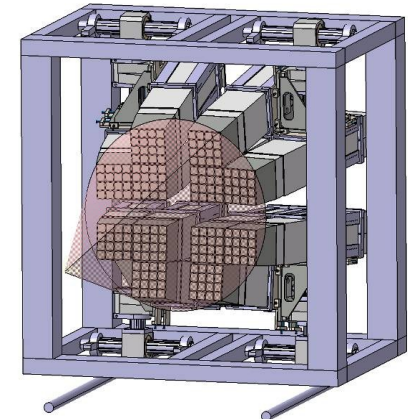
Schedule: **fall 2013-2015**



**192 telescopes organized
in 12 blocks, mounted at
100cm from target**

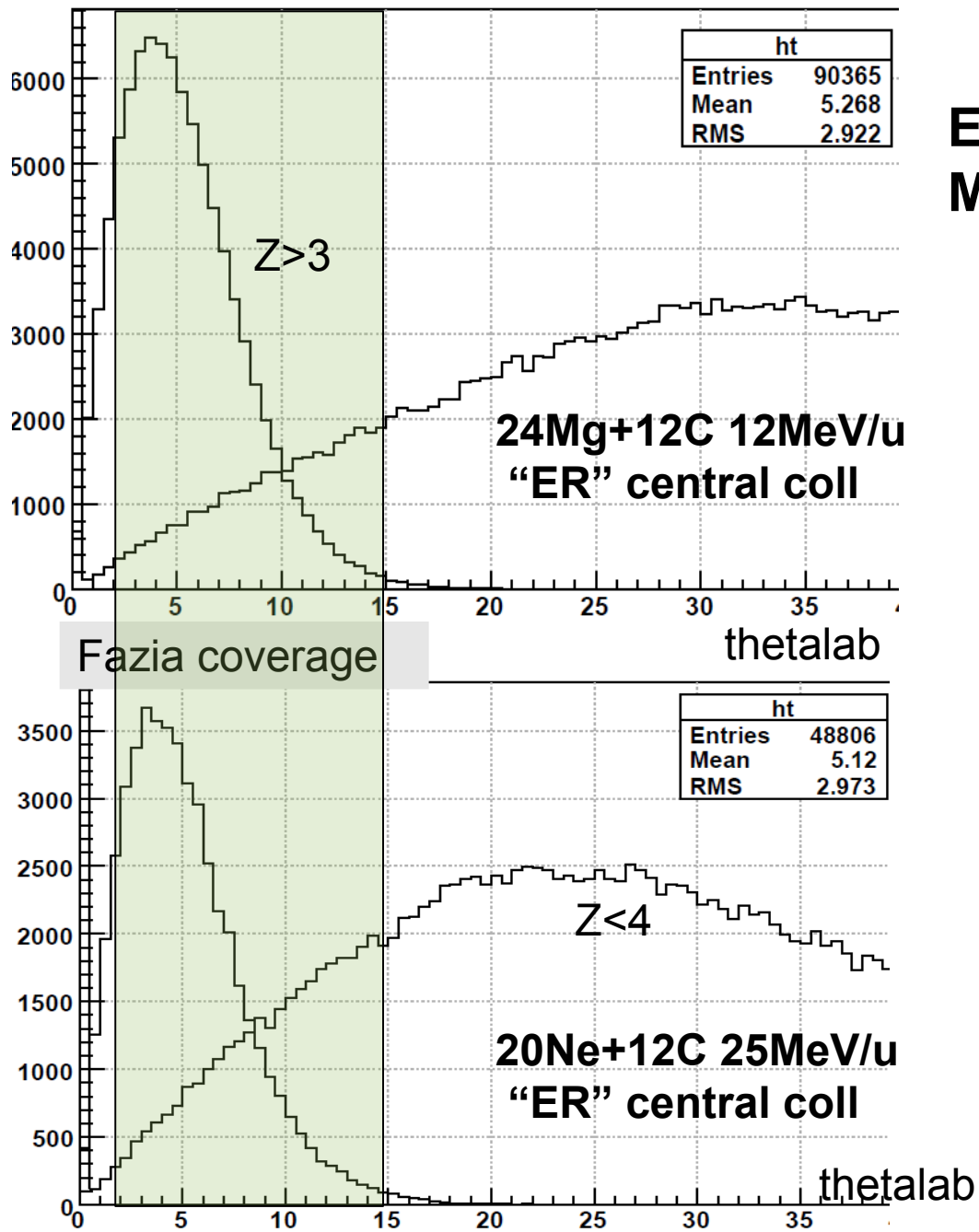
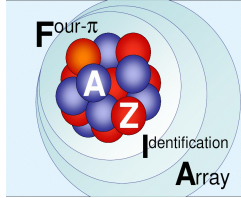


Block held by supports in group of three

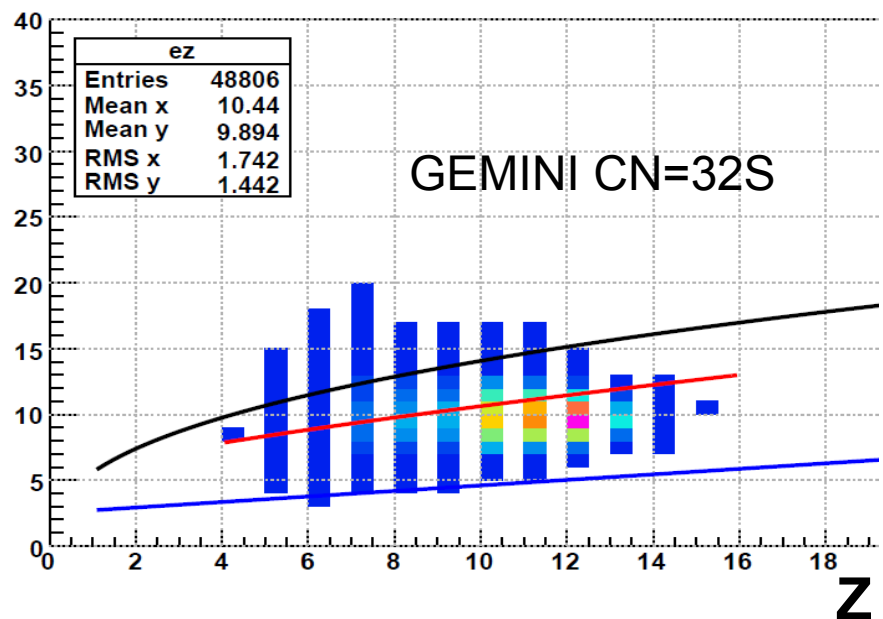
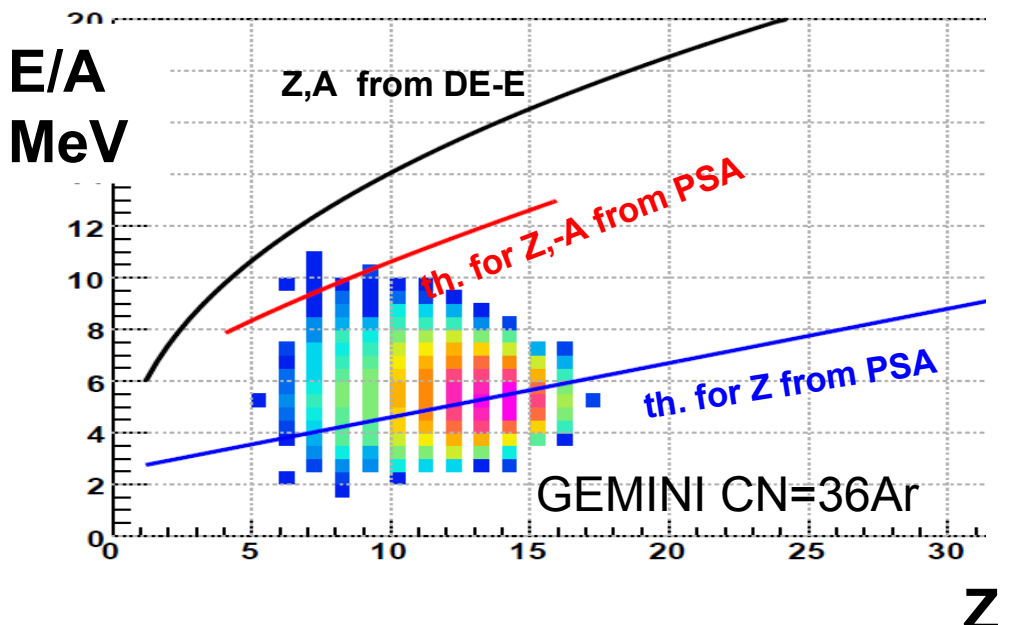


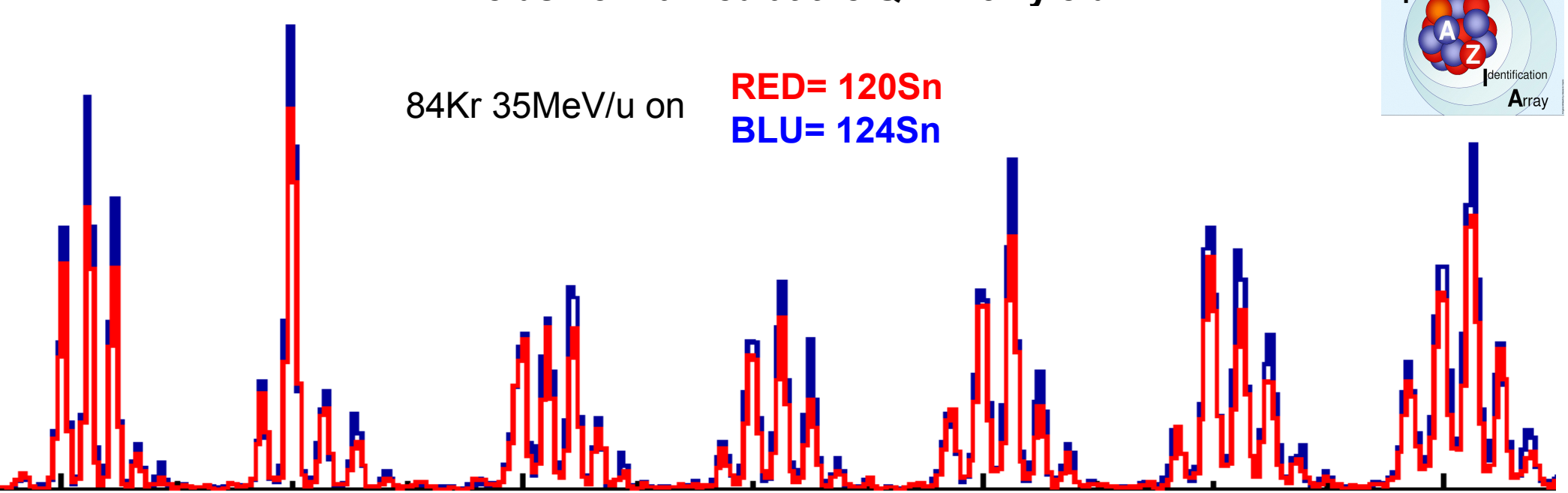
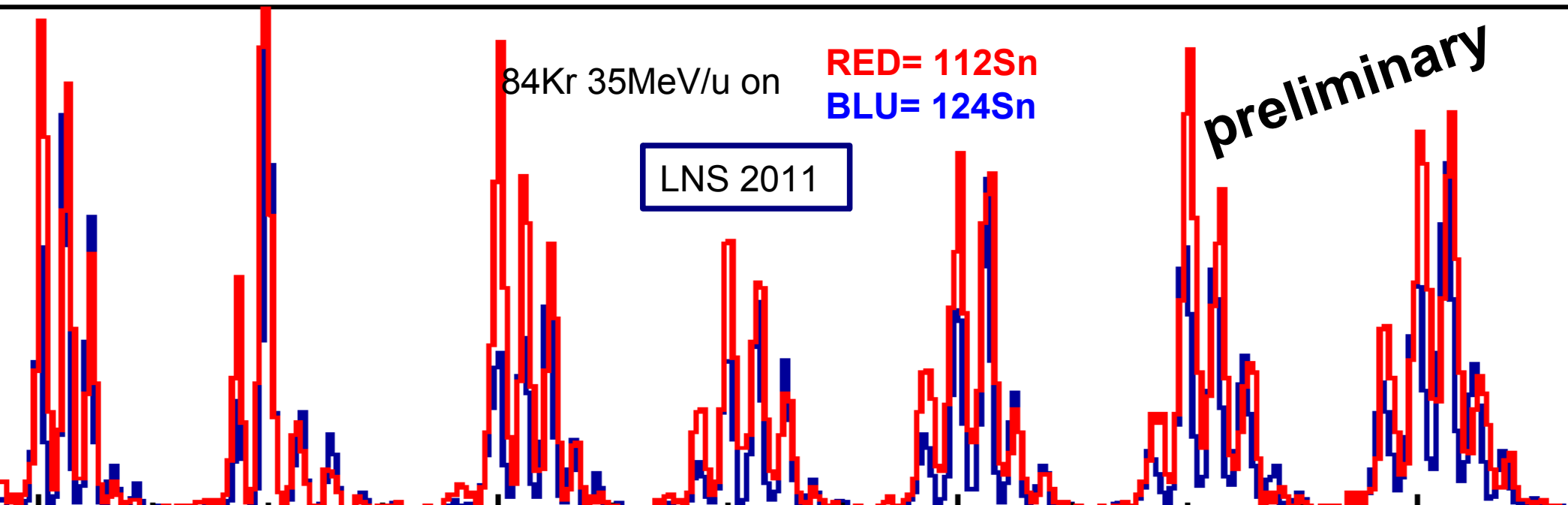
Assemblaggio in
camera pulita;
Prezioso contributo di
E.Scarlini!

Preliminary calculations: where FAZIA can do a good job....



ER detection of light systems





Richieste 2013

Non ancora definitive

Progetto	A carico dell'I.N.F.N.												
	interno	estero	consumo	inviti	seminari	trasporti	pubblicazioni	manutenzione	inventario	licenze-SW	apparati	spservizi	TOTALI
GAMMA	9.00	4.00	9.00						20.00				42.00
NUCL-EX	19.00	8.50	8.50			0.50			3.50		50.00	1.00	91.00
Tot.Sigle	28.00	12.50	17.50			0.50			23.50		50.00	1.00	133.00
Dotazioni di CSN III	8.00	4.50	5.00		1.00	0.50	1.00	1.00	12.50	2.00			35.50
Totale CSN III Firenze	36.00	17.00	22.50		1.00	1.00	1.00	1.00	36.00	2.00	50.00	1.00	168.50

FTE 9.3 RICERCATORI + 0.5 TECNOLOGI

SERVIZI

Impiego intenso della Camera Pulita di Sezione per bonding Si FAZIA
 Richiesta di uso anche per GAMMA per il bonding di Silici per SPIDER

GAMMA officina meccanica 1mu

NUCLEX officina meccanica 1mu servizio elettronica 0.5mu servizio
 tecnico 0.5mu

GIOVANI

2 assegnisti

1 borsa postdoc

2 (3) laureandi magistrali

CdS 4 luglio 2012 g.c.

Gruppo III: AZIONI EXTRA-INFN in atto

Ottimizzazione della risoluzione spaziale ed imaging in scintillatori per la Fisica Nucleare ed applicazioni.

Punteggi dei referee: 97/100 100/100

PI Sandro Barlini UNIFI Assegno

Partecipazione S.Piantelli e G.C,

Coinvolgimento INFN Milano

FIRB

Sviluppo e integrazione di rivelatori per esperimenti di fisica nucleare avanzata (approssimativamente....)

Passato a livello nazionale da Milano

PRIN

PI A.Bracco UNIMI

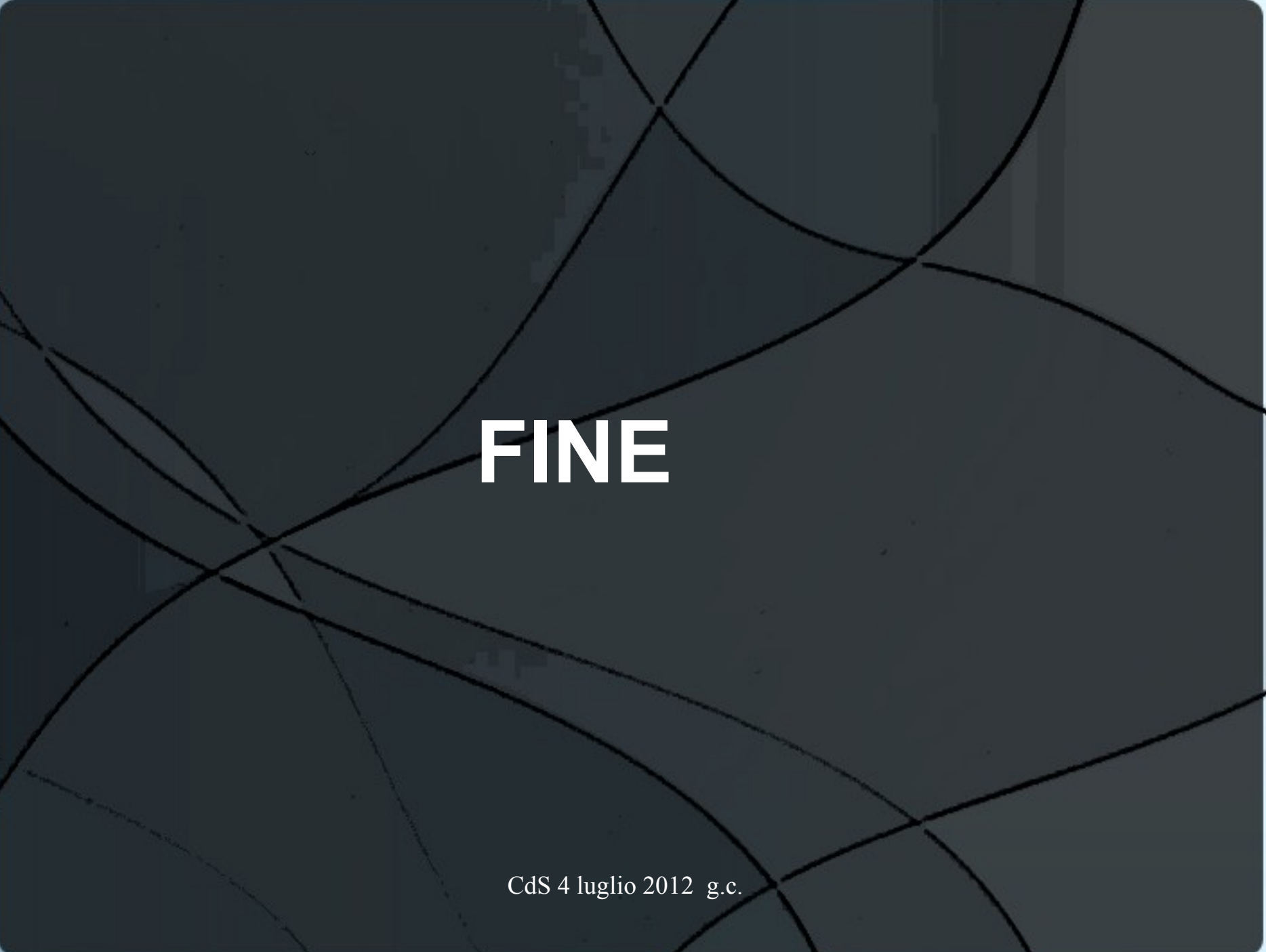
Coinvolte UNINA, UNIFI (G.Poggi), UNICT, LNL, LNS

Progetto di cooperazione Ministero Affari ESTERI per favorire la ricerca di base fra Italia e Polonia "Progetto Canaletto"

INFN LNL, INFN Fi

Promozione di un accordo tipo COPIGAL (F-Polonia) anche tra I e Polonia

Partecipazione al Copigal, LEA (I-F-Polonia meeting) Cracovia giugno 12



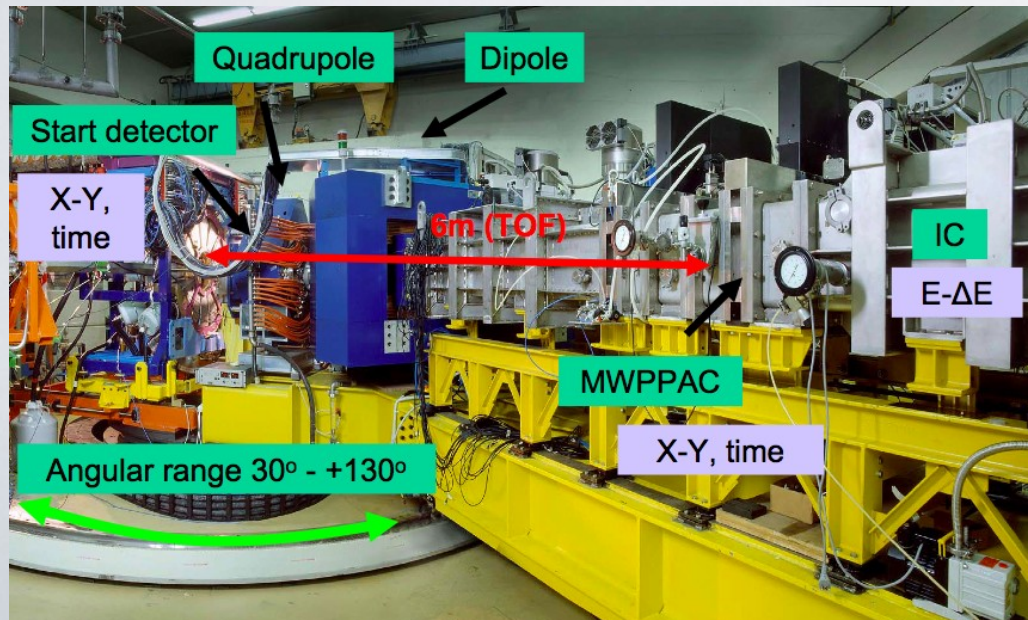
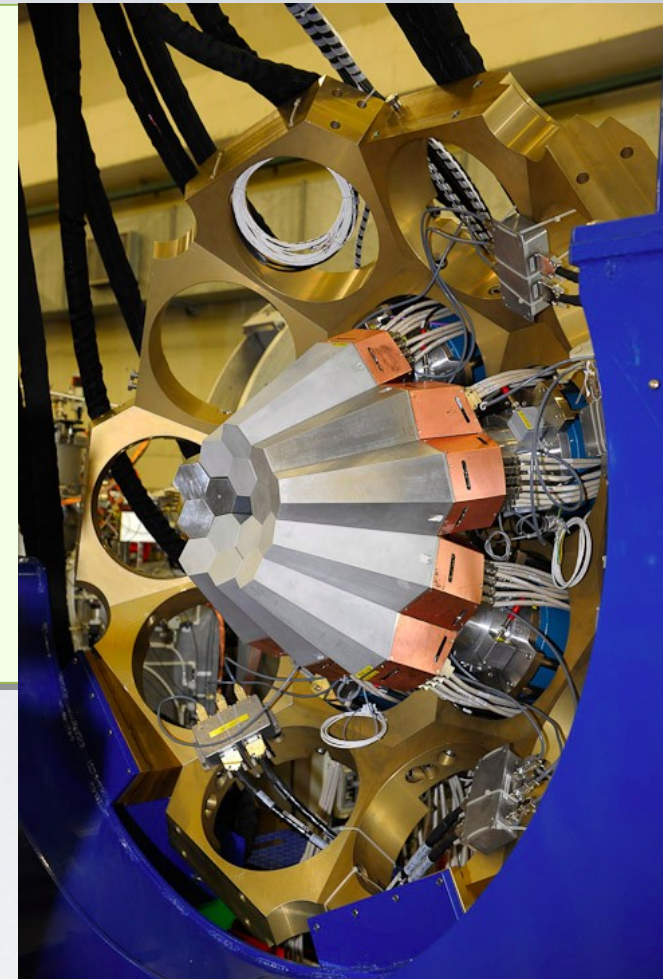
FINE

CdS 4 luglio 2012 g.c.

Misure ai LNL con AGATA - PRISMA

Il Dimostratore di AGATA:
misura dei raggi gamma

5 asymmetric triple-clusters
36-fold segmented crystals
540 segments
555 digital-channels
Eff. 3 – 7 % @ $M_\gamma = 1$
Eff. 2 – 4 % @ $M_\gamma = 30$
ONLINE PSA and γ -ray tracking



PRISMA: identificazione dei nuclei prodotti nella reazione (A, Z).

D5

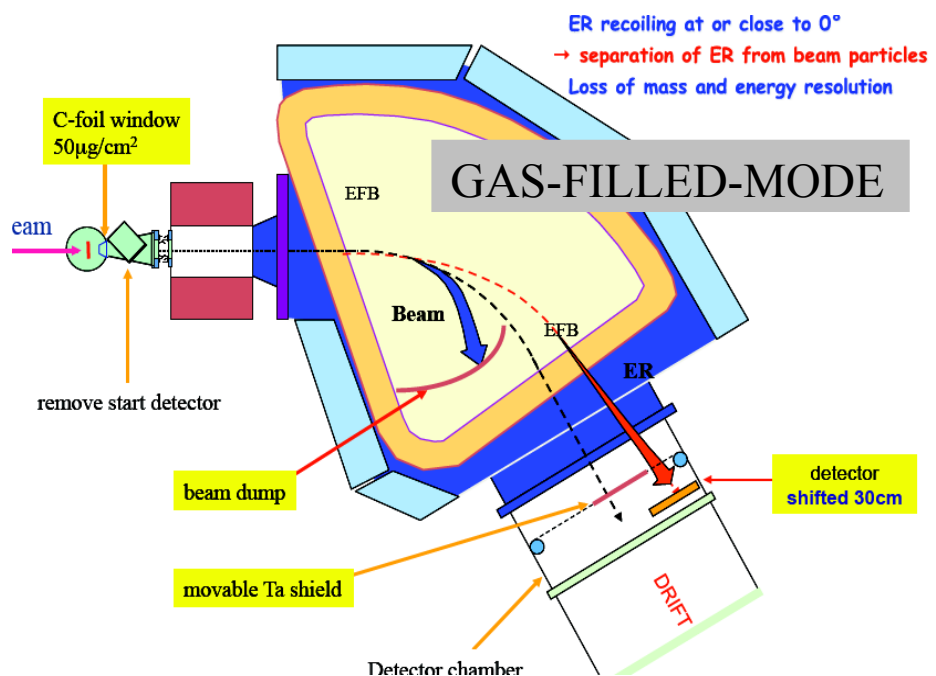
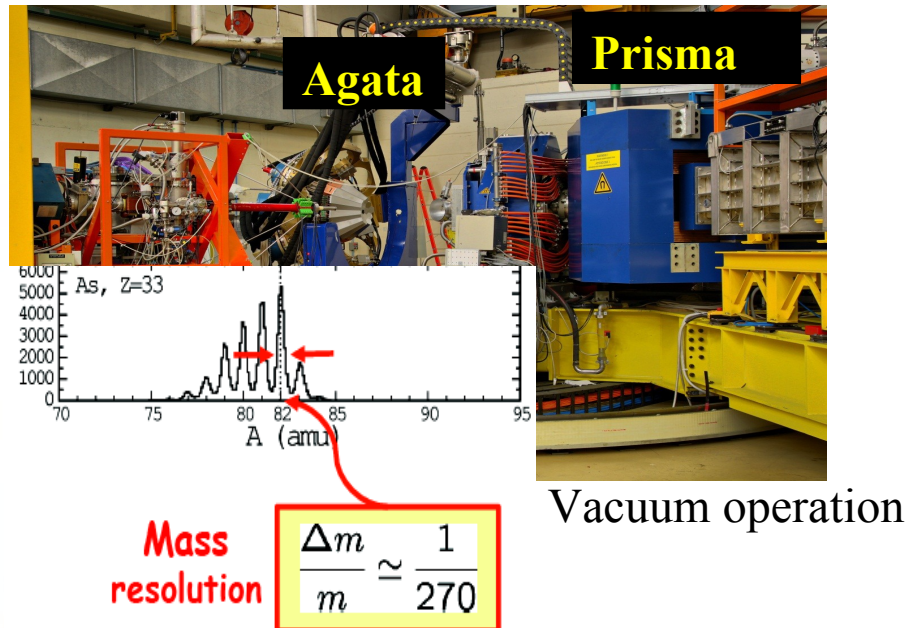
SPES Istrumentation: the present activity on PRISMA (available+R&D)



PRISMA is fundamental for RIB fusion studies (beam rejection capabilities 0deg)

Operation under study: in vacuum or in gas-filled-mode, so to convey ER to the focal plane.

Exotic CN detected: further decay could be studied with specific instrumentation.



Many experiments in LNL coupled with AGATA

Upgrading under study: GFM operation; second arm for KCM, small LaBr₃ array

Coupling with AGATA (complete or not) or with GALILEO

R&D very important for SPES experiments

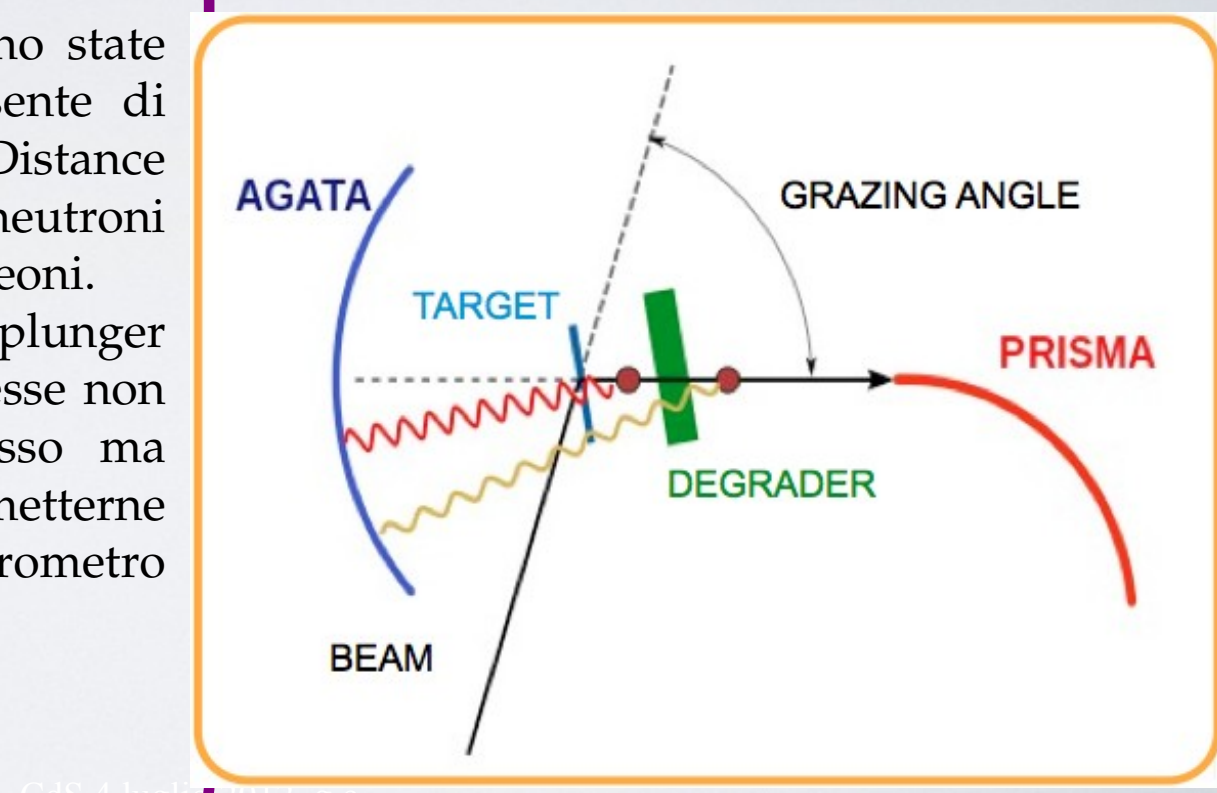
Misure ai LNL con AGATA - PRISMA

- RDDS lifetime measurement in the region of the neutron-rich doubly magic ^{132}Sn : Lifetime of the 6^+ state in ^{136}Te .
- Gamma-ray spectroscopy of the neutron-rich Kr and Se isotopes in the N=56–60 region.

Le vite medie degli stati eccitati sono state misurate con una tecnica che consente di impegare il metodo del Recoil Distance Doppler Shift a nuclei ricchi di neutroni popolati via trasferimento di più nucleoni.

È stato appositamente realizzato un plunger differenziale, dove il nucleo di interesse non viene fermato in un backing spesso ma attraversa un assorbitore per permetterne l'identificazione con lo spettrometro PRISMA.

L'analisi dei dati è in corso.



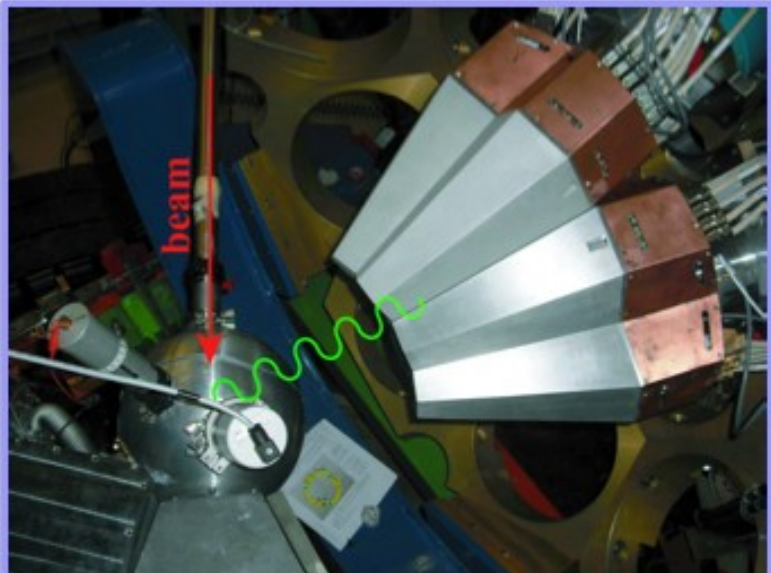
Misure di polarizzazione con AGATA

The angular distribution of Compton scattering is sensitive to the linear polarization of the incoming radiation:

$$\frac{d\sigma}{d\Omega} = \frac{r_0^2}{4} \left(\frac{k}{k_0} \right)^2 \left[\frac{k_0}{k} + \frac{k}{k_0} + 2(\cos^2 \theta - P \sin^2 \theta \cos 2\varphi) \right]$$

where P is the polarization and φ is the azimuthal angle.

In the usual Compton polarimeters, the cross section is measured only at a few values of φ . With the tracking of the Compton scattering (i.e. AGATA), the complete angular distribution can be measured.



Two AGATA Demonstrator modules (six counters) positioned in a way to select γ not far from 90° with respect to the beam direction. Partially polarized γ rays are produced by Coulomb Excitation of the first excited states in ^{104}Pd and ^{108}Pd , bombarding two enriched targets with a ^{12}C beam @ 32 MeV.

The results have been presented to the EGAN 2012 workshop (Orsay 25-27 June 2012).
Cds 4 luglio 2012 g.c

I fattori giromagnetici degli isotopi pesanti della catena dei Nd sono stati riprodotti, ottenendo il miglior accordo rispetto ai modelli teorici correnti [1].

IBA-2

- È stata studiata la transizione di fase U(5) - SU(3) utilizzando una Hamiltoniana a un solo parametro. Particolare attenzione è stata rivolta agli effetti riconducibili al numero finito di bosoni e all'interazione dei moti rotazionali e vibrazionali [3].
- Le recenti misure, di grande precisione, dei fattori giromagnetici degli isotopi pari di Pd e Ru hanno reso possibile un test stringente dei modelli nucleari correnti. Un buon accordo è stato ottenuto con il modello IBA-2, che ha anche messo in luce l'effetto dell'interazione di strutture di particella singola e collettive in ^{104}Pd [4].

[1] A. Giannatiempo, Phys. Rev. C 84, 024308 (2011).

[2] A. Giannatiempo, Phys. Rev. C 84, 034319 (2011).

[3] A. Giannatiempo, L. Fortunato, A. Vitturi, inviato per la pubblicazione.

[4] A. Giannatiempo, inviato per la pubblicazione.

Misure di Coulomb Excitation con fasci radioattivi (RIB)

Coulomb Excitation in inverse kinematics is the most general and simple method capable to provide crucial information on nuclei off the valley of stability (excitation energies, electromagnetic transition rates, quadrupole moments).

The technique for measuring CE of RIBs requires a high efficiency for both the gamma and particle detector due to the low intensity of the available beams.

We propose to perform CE experiments by measuring at forward angles projectiles scattered on a heavy target to provide a clean trigger for γ -ray selection. γ -rays could be detected by the germanium array available at LNL.

